



**君芯科技**  
**CAS-IGBT**

**KWRFF100R12SWM**

**1200V 100A IGBT 模块**

## 特征

采用最新沟槽栅场截止型IGBT芯片

高可靠性及热稳定性，良好的参数一致性

100% RBSOA测试 ( $2*I_C$ )

低通态压降 ( $V_{CE}=2.0V$ )

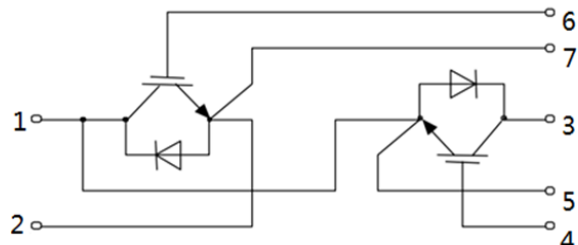
低关断损耗 ( $E_{off}=6.28mJ$ )

高短路耐量 (>10us)



## 应用领域

逆变焊机



## IGBT(逆变器)最大额定值 (未特殊说明时, $T_j=25^\circ C$ )

参数	符号	条件	额定值	单位
集电极-发射极耐压	$V_{CES}$		1200	V
栅极-发射极耐压	$V_{GES}$		$\pm 20$	V
集电极电流	$I_C$	$T_C=25^\circ C$	200	A
		$T_C=100^\circ C$	100	
集电极重复峰值电流	$I_{CRM}$	$t_p=1ms$	200	
耗散功率	$P_D$	$T_C=25^\circ C, T_{vj\max}=150^\circ C$	357	W
短路承受时间	$t_{SC}$	$V_{GE}=15V, V_{CC}=600V, T_j=150^\circ C$	>10	$\mu s$
工作结温	$T_j$		-40~150	$^\circ C$

**IGBT(逆变器)电学特性** (未特殊说明时,  $T_j=25^\circ\text{C}$ )

参数	符号	测试条件	最小值	典型值	最大值	单位
<b>静态特性</b>						
集电极-发射极击穿电压	$V_{(\text{BR})\text{CES}}$	$V_{\text{GE}}=0\text{V}, I_c=1\text{mA}$	1200	-	-	
导通压降	$V_{\text{CE}(\text{sat})}$	$V_{\text{GE}}=15\text{V}, I_c=100\text{A}$ $T_j=25^\circ\text{C}$ $T_j=150^\circ\text{C}$	-	2.0	-	V
阈值电压	$V_{\text{GE}(\text{th})}$	$I_c=4\text{mA}, V_{\text{CE}}=V_{\text{GE}}$	-	6.1	-	
集电极-发射极漏电流	$I_{\text{CES}}$	$V_{\text{CE}}=1200\text{V}, V_{\text{GE}}=0\text{V}$	-	-	3	mA
栅极-发射极漏电流	$I_{\text{GES}}$	$V_{\text{CE}}=0\text{V}, V_{\text{GE}}=20\text{V}$	-	-	400	nA
内置栅电阻	$R_{\text{Gint}}$		-	7.5	-	$\Omega$
输入电容	$C_{\text{iss}}$	$V_{\text{CE}}=25\text{V}$	-	7216	-	
输出电容	$C_{\text{oss}}$	$V_{\text{GE}}=0\text{V}$	-	366	-	pF
反馈电容	$C_{\text{rss}}$	$f=1\text{MHz}$	-	197	-	
栅电荷	$Q_G$	$V_{\text{CC}}=200\text{V}, I_c=100\text{A},$	-	392	-	nC
<b>开关特性</b> (感性负载)						
开通延迟时间	$t_{\text{d(on)}}$	$T_j=25^\circ\text{C}$	-	206	-	
上升时间	$t_r$	$V_{\text{CC}}=600\text{V}$	-	584	-	
关断延迟时间	$t_{\text{d(off)}}$	$I_c=100\text{A}$	-	276	-	ns
下降时间	$t_f$	$V_{\text{GE}}=\pm 15\text{V}$	-	59	-	
开通损耗	$E_{\text{on}}$	$R_G=5.6\Omega$	-	31.7	-	
关断损耗	$E_{\text{off}}$		-	6.28	-	mJ
开关损耗	$E_{\text{ts}}$		-	38.0	-	
开通延迟时间	$t_{\text{d(on)}}$	$T_j=150^\circ\text{C}$	-	224	-	
上升时间	$t_r$	$V_{\text{CC}}=600\text{V}$	-	546	-	
关断延迟时间	$t_{\text{d(off)}}$	$I_c=100\text{A}$	-	343	-	ns
下降时间	$t_f$	$V_{\text{GE}}=\pm 15\text{V}$	-	134	-	
开通损耗	$E_{\text{on}}$	$R_G=5.6\Omega$	-	32.7	-	
关断损耗	$E_{\text{off}}$		-	8.71	-	mJ
开关损耗	$E_{\text{ts}}$		-	41.4	-	
集电极短路电流	$I_{\text{SC}}$	$V_{\text{GE}}=15\text{V}, V_{\text{CC}}=600\text{V}, T_j=150^\circ\text{C}, t_p \leq 10\mu\text{s}$	-	350	-	A
壳到结的热阻	$R_{\text{thJC}}$	每个IGBT	-	-	0.35	K/W

## 二极管(逆变器)最大额定值 (未特殊说明时, $T_j=25^\circ\text{C}$ )

参数	符号	条件	额定值	单位
反向重复峰值电压	$V_{\text{RRM}}$		1200	V
连续正向直流电流	$I_F$	$T_C=25^\circ\text{C}$	200	A
		$T_C=100^\circ\text{C}$	100	
正向重复峰值电流	$I_{\text{FRM}}$	$t_p=1\text{ms}$	200	
工作结温	$T_j$		-40~150	°C

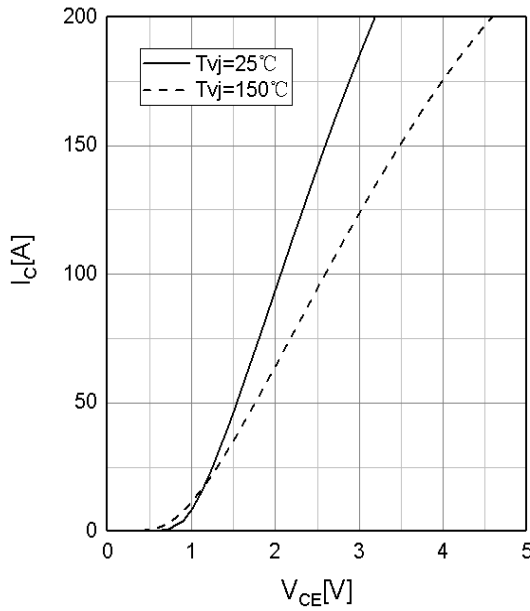
## 二极管(逆变器)电学特性 (未特殊说明时, $T_j=25^\circ\text{C}$ )

参数	符号	条件	最小值	典型值	最大值	单位
正向压降	$V_F$	$I_F=100\text{A}$ $T_j=25^\circ\text{C}$ $T_j=150^\circ\text{C}$	- -	2.05 2.0	- -	V
反向恢复时间	$t_{rr}$	$T_j=25^\circ\text{C}$	-	225	-	ns
反向恢复电荷	$Q_{rr}$	$V_R=600\text{V}, I_F=100\text{A}$	-	4.00	-	μC
反向恢复峰值电流	$I_{rrm}$	$-di/dt=600\text{A/us}$	-	33.0	-	A
反向恢复时间	$t_{rr}$	$T_j=150^\circ\text{C}$	-	310	-	ns
反向恢复电荷	$Q_{rr}$	$V_R=600\text{V}, I_F=100\text{A}$	-	8.9	-	μC
反向恢复峰值电流	$I_{rrm}$	$-di/dt=600\text{A/us}$	-	43.0	-	A
壳到结的热阻	$R_{\text{thJCD}}$	每个二极管	-	0.5	-	K/W

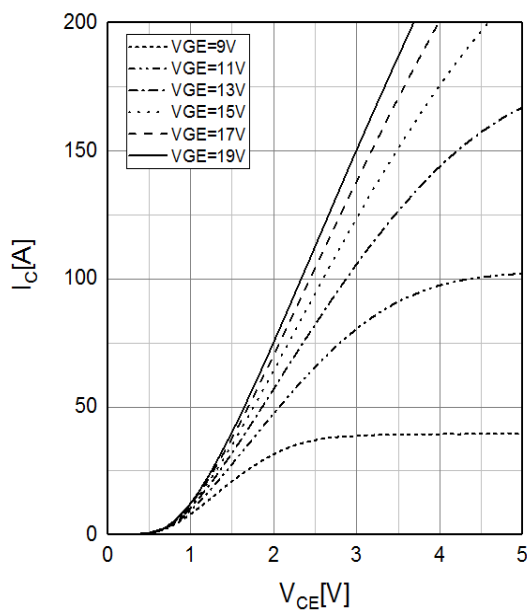
## 模块

参数	符号	测试条件	最小值	典型值	最大值	单位
绝缘测试电压	$V_{\text{ISOL}}$	$f = 50\text{Hz, 1minute}$	2500	-	-	V
最大结温	$T_{vj \text{ max}}$		-	-	150	°C
工作结温	$T_j$		-40	-	150	°C
外壳—散热器热阻	$R_{\text{eCS}}$	每个模块	-	0.03	-	K/W
储存温度	$T_{\text{stg}}$		-40	-	125	°C
模块安装扭距	$M$	Mounting Screw:M5	2.5	-	5.0	N·m
端子联结扭矩	$M$	Mounting Screw:M6	3.0	-	5.0	N·m
重量	$G$		-	170	-	g

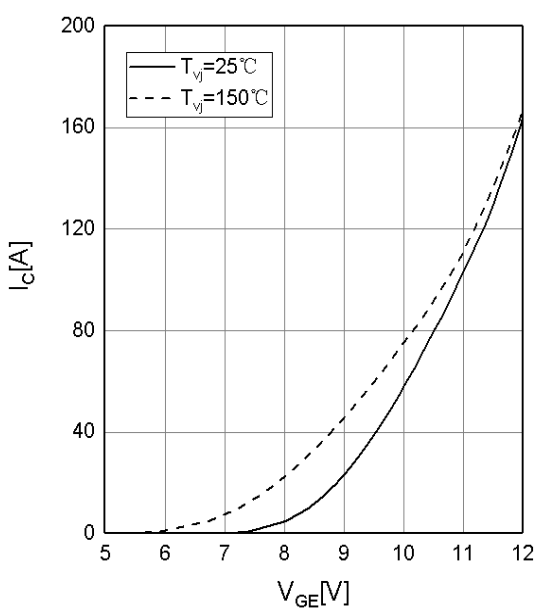
输出特性 IGBT, 逆变器 (典型)  
**output characteristic IGBT,Inverter (typical)**  
 $I_C = f(V_{CE})$   $V_{GE} = 15\text{ V}$



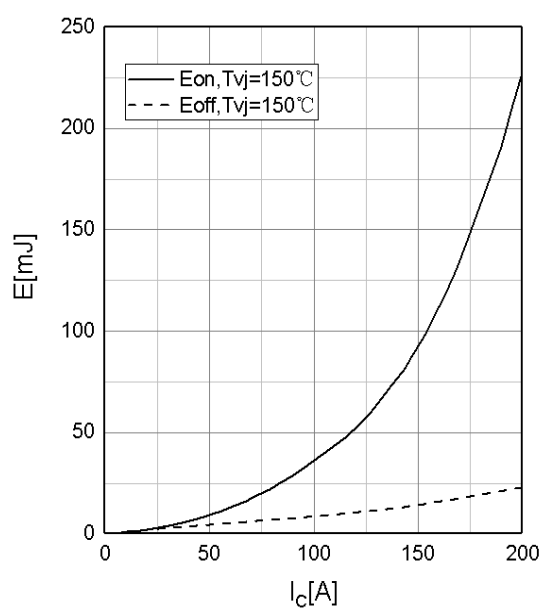
输出特性 IGBT, 逆变器 (典型)  
**output characteristic IGBT,Inverter (typical)**  
 $I_C = f(V_{CE})$   $T_j = 150^\circ\text{C}$



传输特性 IGBT, 逆变器 (典型)  
**transfer characteristic IGBT,Inverter(typical)**  
 $I_C = f(V_{GE})$   $V_{CE} = 20\text{ V}$

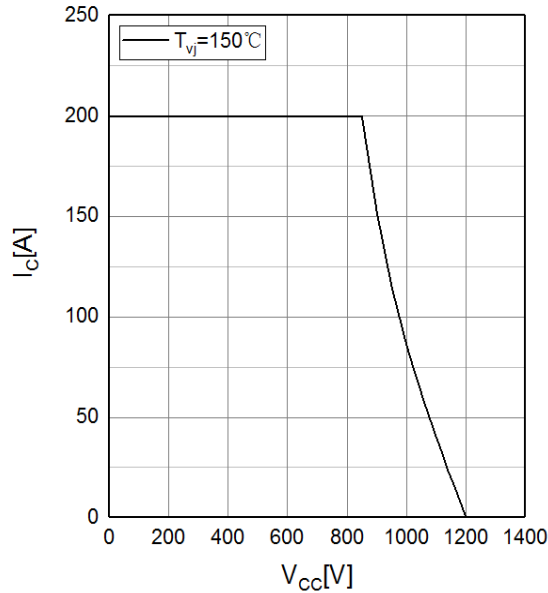
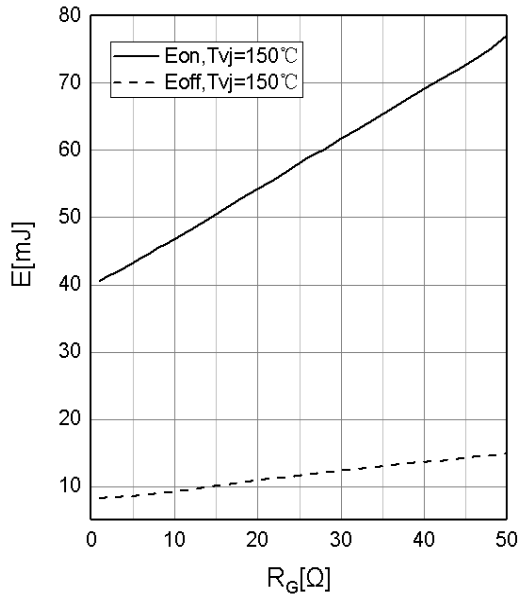


开关损耗 IGBT, 逆变器 (典型)  
**switching losses IGBT,Inverter (typical)**  
 $E_{on} = f(I_C)$ ,  $E_{off} = f(I_C)$   
 $V_{GE} = \pm 15\text{ V}$ ,  $R_{Gon} = 5.6\Omega$ ,  $R_{Goff} = 5.6\Omega$ ,  $V_{CE} = 600\text{ V}$



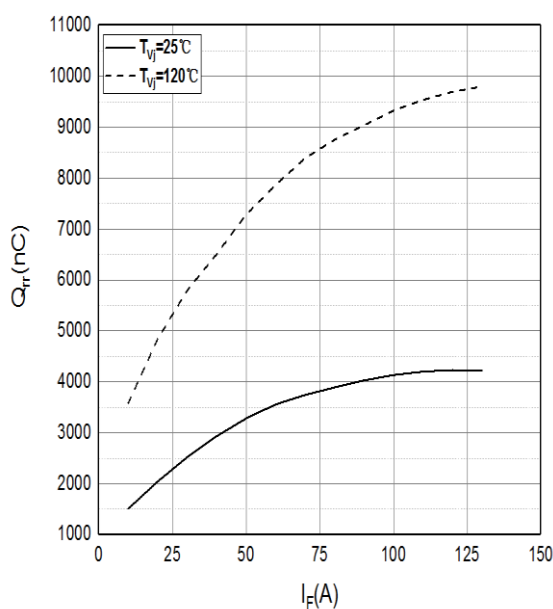
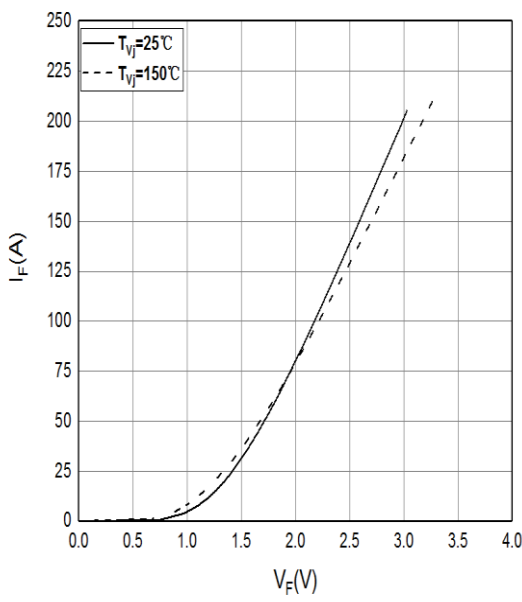
开关损耗 IGBT, 逆变器 (典型)  
**switching losses IGBT,Inverter (typical)**  
 $E_{on} = f(R_G)$ ,  $E_{off} = f(R_G)$   
 $V_{GE} = \pm 15$  V,  $I_C = 100$  A,  $V_{CE} = 600$  V

反偏安全工作区 IGBT, 逆变器 (RBSOA)  
**reverse bias safe operating area IGBT,Inverter**  
 $I_C = f(V_{CE})$   
 $V_{GE} = \pm 15$  V,  $R_{Goff} = 5.6$  Ω,  $T_j = 150$  °C

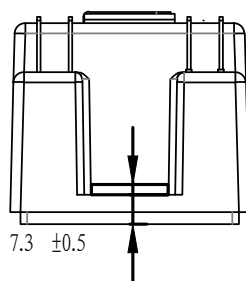
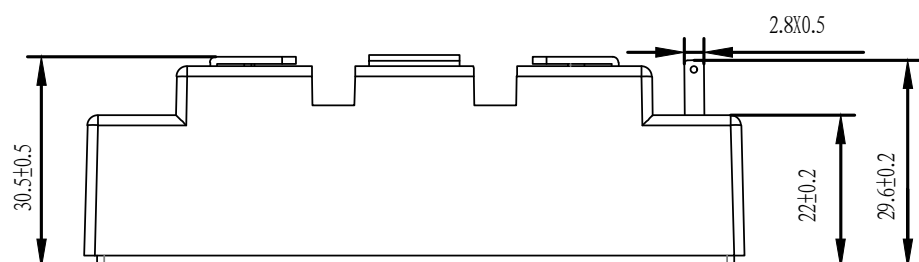
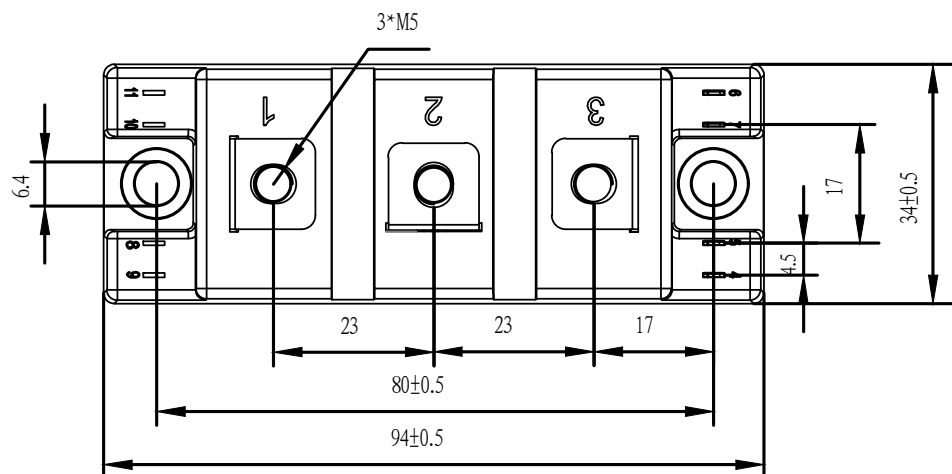


正向偏压特性 二极管, 逆变器 (典型)  
**forward characteristic of Diode, Inverter (typical)**  
 $I_F = f(V_F)$

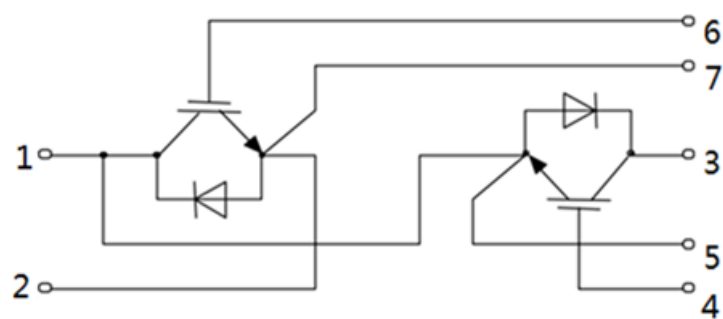
恢复电荷 二极管, 逆变器 (典型)  
**recovered charge of Diode, Inverter (typical)**  
 $Q_{rr} = f(I_F)$



## 模块尺寸 (单位: mm)



## 电路示意图



# X-ON Electronics

Largest Supplier of Electrical and Electronic Components

***Click to view similar products for IGBT Transistors category:***

***Click to view products by JUNSHINE manufacturer:***

Other Similar products are found below :

[748152A](#) [FGH60T65SHD\\_F155](#) [APT100GT60B2RG](#) [APT13GP120BG](#) [APT20GN60BG](#) [APT20GT60BRDQ1G](#) [APT25GN120B2DQ2G](#)  
[APT35GA90BD15](#) [APT36GA60BD15](#) [APT40GP60B2DQ2G](#) [APT40GP90B2DQ2G](#) [APT50GN120B2G](#) [APT50GT60BRG](#)  
[APT64GA90B2D30](#) [APT70GR120J](#) [NGTB10N60FG](#) [NGTB30N60L2WG](#) [NGTG25N120FL2WG](#) [IGP30N60H3XKSA1](#) [STGB15H60DF](#)  
[STGFW20V60DF](#) [STGFW30V60DF](#) [STGFW40V60F](#) [STGWA25H120DF2](#) [FGB3236\\_F085](#) [APT25GN120BG](#) [APT25GR120S](#)  
[APT30GN60BDQ2G](#) [APT30GN60BG](#) [APT30GP60BG](#) [APT30GS60BRDQ2G](#) [APT30N60BC6](#) [APT35GP120JDQ2](#) [APT36GA60B](#)  
[APT45GR65B2DU30](#) [APT50GP60B2DQ2G](#) [APT68GA60B](#) [APT70GR65B](#) [APT70GR65B2SCD30](#) [GT50JR22\(STA1ES\)](#) [TIG058E8-TL-H](#)  
[IDW40E65D2](#) [SGB15N120ATMA1](#) [NGTB50N60L2WG](#) [STGB10H60DF](#) [STGB20V60F](#) [STGB40V60F](#) [STGFW80V60F](#)  
[IGW40N120H3FKSA1](#) [RJH60D7BDPQ-E0#T2](#)